

化学概論 第9回

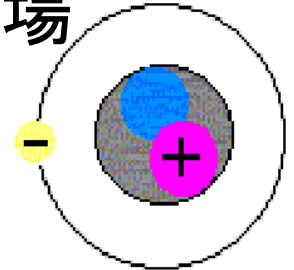
元素の多様性と周期性

水素原子の波動関数

$$H \equiv -\frac{\hbar^2}{8\pi^2 m} \Delta + V \qquad V = -\frac{e^2}{4\pi\epsilon_0 r} \quad \text{中心力場}$$



$$r = \sqrt{x^2 + y^2 + z^2}$$



Schrödingerの波動方程式

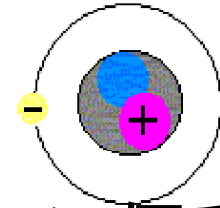
$$H\psi = E\psi \qquad \left(-\frac{\hbar^2}{8\pi^2 m} \Delta - \frac{e^2}{4\pi\epsilon_0 r} \right) \psi = E\psi$$

換算質量: $\mu = \frac{mM}{m+M}$ **M:** 原子核の質量、
m: 電子の質量

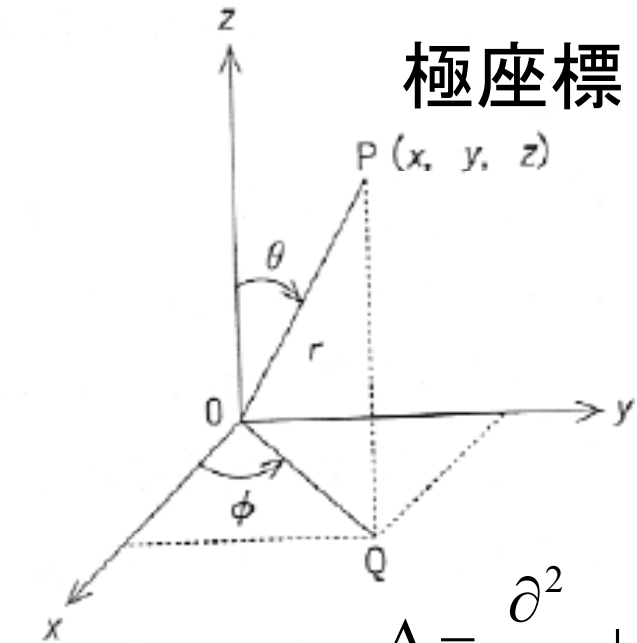


$$\left(-\frac{\hbar^2}{8\pi^2 \mu} \Delta - \frac{e^2}{4\pi\epsilon_0 r} \right) \psi = E\psi$$

極座標の導入



極座標: 中心対称な系の問題を考えるのに便利



$$(x, y, z) \rightarrow (r, \theta, \phi)$$

$$\begin{cases} x = r \sin \theta \cos \phi \\ y = r \sin \theta \sin \phi \\ z = r \cos \theta \end{cases}$$

ラプラシアン $\Delta = \frac{\partial^2}{\partial x^2} + \frac{\partial^2}{\partial y^2} + \frac{\partial^2}{\partial z^2}$

$$= \frac{1}{r^2} \frac{\partial}{\partial r} \left(r^2 \frac{\partial}{\partial r} \right) + \frac{1}{r^2 \sin \theta} \frac{\partial}{\partial \theta} \left(\sin \theta \frac{\partial}{\partial \theta} \right) + \frac{1}{r^2 \sin^2 \theta} \frac{\partial^2}{\partial \phi^2}$$

原子軌道を表す波動関数

シュレディンガー方程式
$$\left(-\frac{h^2}{8\pi^2\mu} \Delta - \frac{e^2}{4\pi\epsilon_0 r} \right) \psi = E\psi$$

解
$$\psi(r, \theta, \phi) = R(r) \Theta(\theta) \Phi(\phi)$$

$$\Phi(\phi) = A e^{im\phi} \quad m = 0, \pm 1, \pm 2, \pm 3, \dots \quad \text{磁気量子数}$$

$$m \frac{h}{2\pi} \text{ は角運動量の } z \text{ 成分(の固有値)}$$

$\Theta(\theta)$ の満たす方程式

$$\frac{1}{\sin \theta} \frac{d}{d\theta} \left(\sin \theta \frac{d\Theta(\theta)}{d\theta} \right) - \frac{m^2}{\sin^2 \theta} \Theta(\theta) + \beta \Theta(\theta) = 0$$

解: $\Theta_{l,m}(\theta) \quad \beta = l(l+1) \quad l: \text{方位量子数} \quad \text{全角運動量}$

$$l = 0, 1, 2, 3, \dots \quad m = 0, \pm 1, \pm 2, \pm 3, \dots, \pm l \quad \frac{h}{2\pi} \sqrt{l(l+1)}$$

θ 成分

表 3-1 $\Theta(\theta)$ 関数

| l | m | $\Theta(\theta)$ |
|----------|---------|--|
| 0 (s 軌道) | 0 | $\frac{1}{\sqrt{2}}$ |
| 1 (p 軌道) | 0 | $\sqrt{\frac{3}{2}} \cos \theta$ |
| | ± 1 | $\frac{\sqrt{3}}{2} \sin \theta$ |
| 2 (d 軌道) | 0 | $\frac{1}{2} \sqrt{\frac{5}{2}} (3 \cos^2 \theta - 1)$ |
| | ± 1 | $\frac{\sqrt{15}}{2} \sin \theta \cos \theta$ |
| | ± 2 | $\frac{\sqrt{15}}{4} \sin^2 \theta$ |

動径波動関数

$$\frac{1}{r^2} \frac{d}{dr} \left(r^2 \frac{dR(r)}{dr} \right) + \left[\frac{8\pi^2 \mu}{h^2} \left(E + \frac{e^2}{4\pi\epsilon_0 r} \right) - \frac{l(l+1)}{r^2} \right] R(r) = 0$$

水素様原子H, He⁺, Li²⁺
の場合



$$\frac{1}{r^2} \frac{d}{dr} \left(r^2 \frac{dR(r)}{dr} \right) + \left[\frac{8\pi^2 \mu}{h^2} \left(E + \frac{Ze^2}{4\pi\epsilon_0 r} \right) - \frac{l(l+1)}{r^2} \right] R(r) = 0$$

動径波動関数の解

$$R_{n,l}(r)$$

$$E_n = -\frac{\mu Z^2 e^4}{8\epsilon_0^2 h^2 n^2}$$

$$n = 1, 2, 3, \dots$$

$$l = 0, 1, 2, 3, \dots, n-1$$

$$m = 0, \pm 1, \pm 2, \pm 3, \dots, \pm l$$

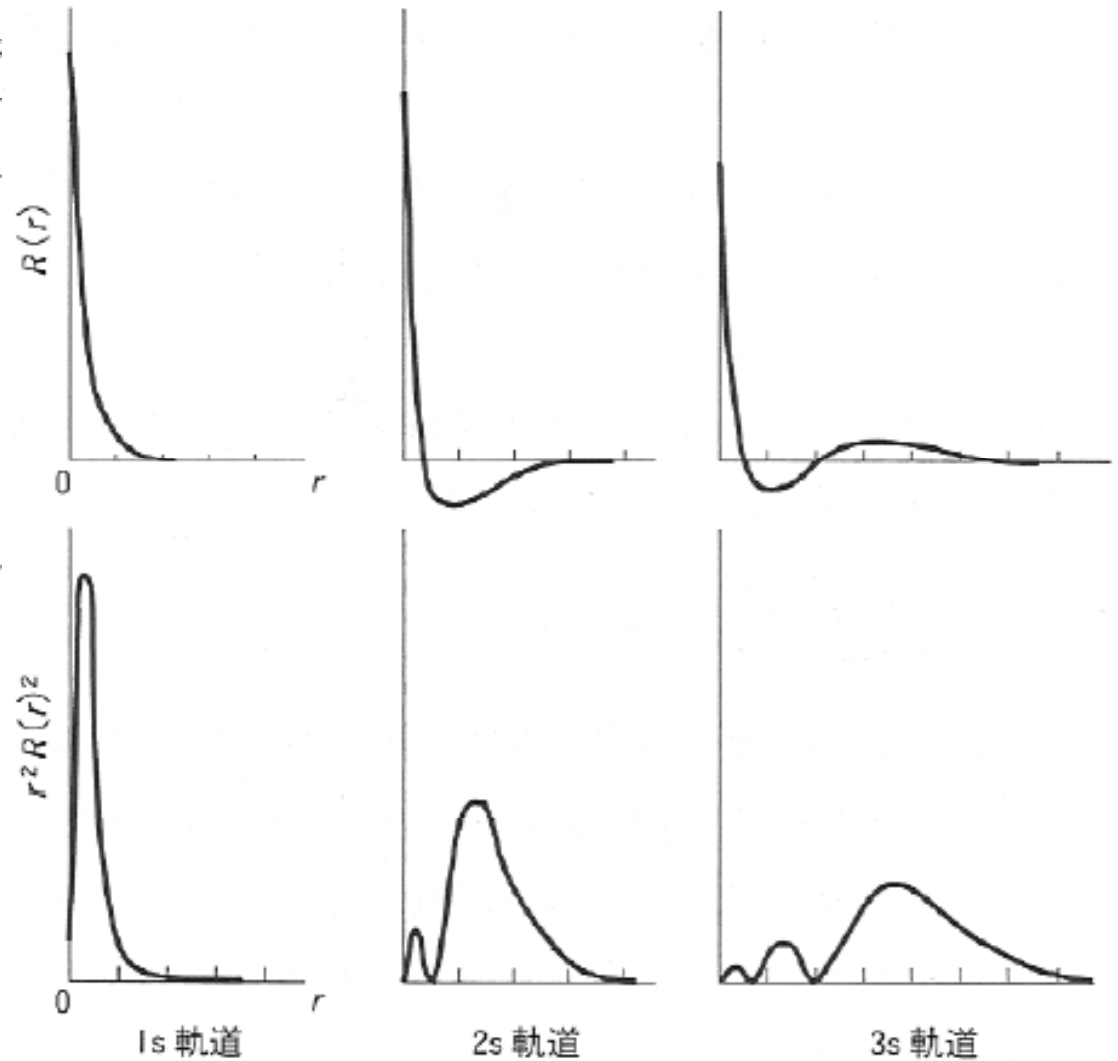
表 3-2 水素様原子軌道関数の動径関数 $R(r)$

| n | l | $R(r)$ |
|-----|-----|--|
| 1 | 0 | $2 \left(\frac{Z}{a_0} \right)^{\frac{3}{2}} e^{-Zr/a_0}$ |
| 2 | 0 | $\left(\frac{Z}{2a_0} \right)^{\frac{3}{2}} \left(2 - \frac{Zr}{a_0} \right) e^{-Zr/2a_0}$ |
| | 1 | $\frac{1}{\sqrt{3}} \left(\frac{Z}{2a_0} \right)^{\frac{3}{2}} \frac{Zr}{a_0} e^{-Zr/2a_0}$ |

表 3-2 水素様原子軌道関数の動径関数 $R(r)$:

| n | l | $R(r)$ |
|-----|-----|--|
| 1 | 0 | $2\left(\frac{Z}{a_0}\right)^{\frac{3}{2}} e^{-Zr/a_0}$ |
| 2 | 0 | $\left(\frac{Z}{2a_0}\right)^{\frac{3}{2}} \left(2 - \frac{Zr}{a_0}\right) e^{-Zr/2a_0}$ |
| | 1 | $\frac{1}{\sqrt{3}} \left(\frac{Z}{2a_0}\right)^{\frac{3}{2}} \frac{Zr}{a_0} e^{-Zr/2a_0}$ |

節面の数: $n-l-1$



| l | m | 複素関数 | 実関数 | 記号 |
|-----|-----|-----------------------------|-----------------------------|----|
| 0 | 0 | $s = \frac{1}{2\sqrt{\pi}}$ | $s = \frac{1}{2\sqrt{\pi}}$ | s |

角関数

$$Y_{l,m}(\theta, \phi) = \Theta_{l,m}(\theta) \Phi_m(\phi)$$

| l | m | 複素関数 | 実関数 | 記号 |
|-----|-----|--|--|-------|
| 0 | 0 | $s = \frac{1}{2\sqrt{\pi}}$ | $s = \frac{1}{2\sqrt{\pi}}$ | s |
| 1 | 0 | $p_0 = \frac{1}{2}\sqrt{\frac{3}{\pi}} \cos \theta$ | $p_0 = \frac{1}{2}\sqrt{\frac{3}{\pi}} \cos \theta$ | p_z |
| | +1 | $p_+ = \frac{1}{2}\sqrt{\frac{3}{\pi}} \sin \theta e^{i\phi}$ | $\frac{1}{\sqrt{2}}(p_+ + p_-) = \frac{1}{2}\sqrt{\frac{3}{\pi}} \sin \theta \cos \phi$ | p_x |
| | -1 | $p_- = \frac{1}{2}\sqrt{\frac{3}{\pi}} \sin \theta e^{-i\phi}$ | $\frac{-i}{\sqrt{2}}(p_+ - p_-) = \frac{1}{2}\sqrt{\frac{3}{\pi}} \sin \theta \sin \phi$ | p_y |

ここで $\frac{e^{i\phi} + e^{-i\phi}}{2} = \cos \phi$, $\frac{e^{i\phi} - e^{-i\phi}}{2i} = \sin \phi$ の関係を用いている.

| | | |
|-------|--|---|
| 主量子数 | $n = 1, 2, 3, \dots$ | K殻, L殻, M殻, N殻 |
| 方位量子数 | $l = 0, 1, 2, 3, \dots, n-1$ | s, p, d, f, ... 軌道 |
| 磁気量子数 | $m = 0, \pm 1, \pm 2, \pm 3, \dots, \pm l$ | s harp, p rincipal, d iffuse, f undamental |

角関数

$$p_0 = \frac{1}{2} \sqrt{\frac{3}{\pi}} \cos \theta \quad p_z$$

$$\frac{1}{\sqrt{2}} (p_+ + p_-) = \frac{1}{2} \sqrt{\frac{3}{\pi}} \sin \theta \cos \phi \quad p_x$$

$$\frac{-i}{\sqrt{2}} (p_+ - p_-) = \frac{1}{2} \sqrt{\frac{3}{\pi}} \sin \theta \sin \phi \quad p_y$$

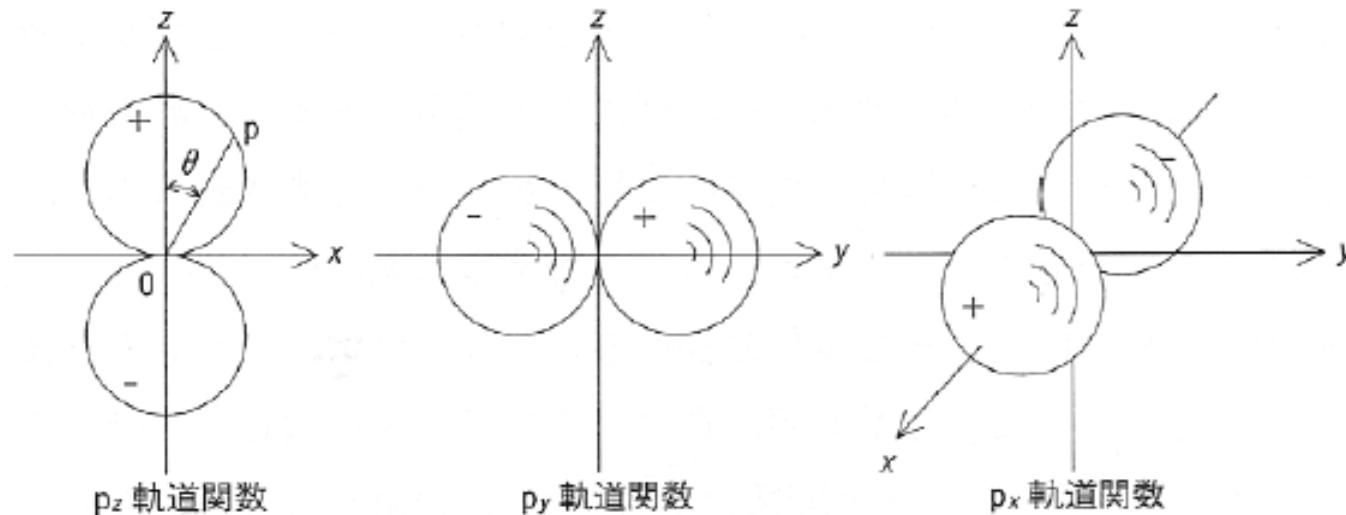


図 3-11 p 軌道関数の極座標表示。ただし、 p_x 関数では θ を変数とした二次元的表示である。 ϕ を $0 \sim 360^\circ$ 変化させれば p_y と p_x 関数で示される球となる。

角関数

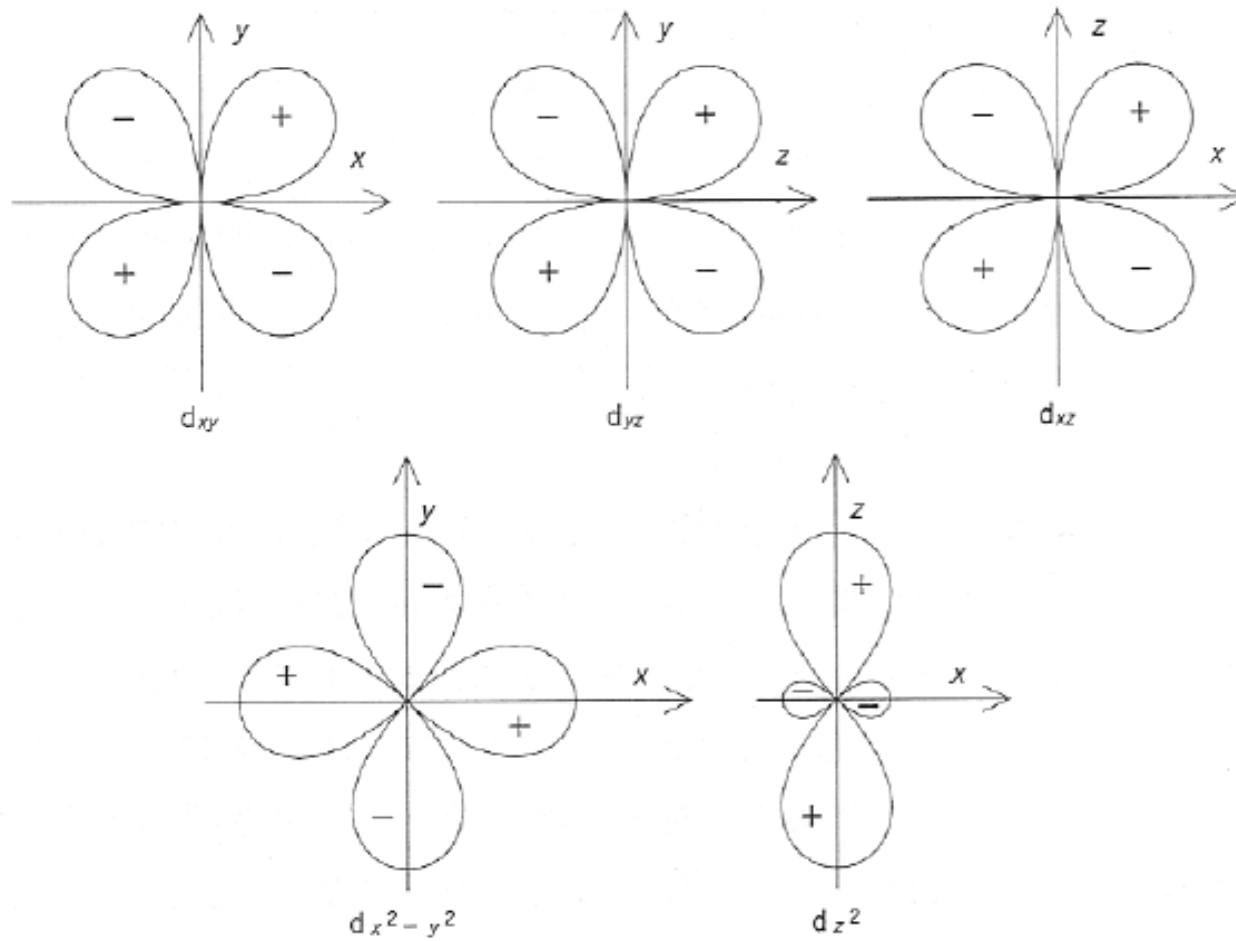


図 3-12 d軌道関数の角度部分の図

角関数

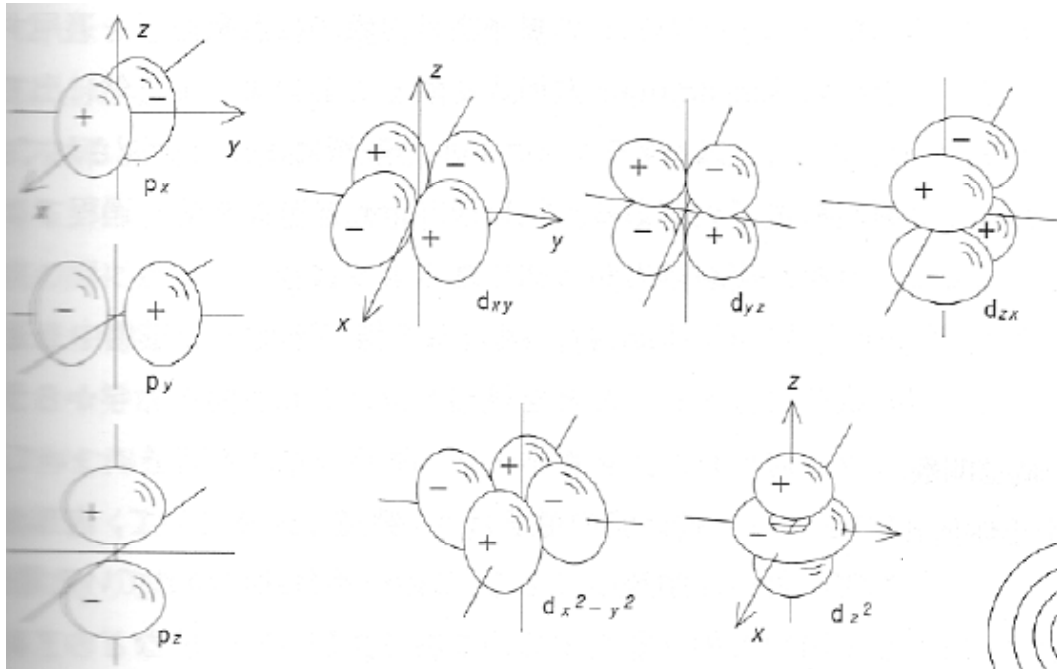


図3-13 p および d 軌道の電子密度における境界面。関数の符号とともに

電子密度

$$|\Psi_{n,l,m}(r, \theta, \phi)|^2 dv = |R_{n,l}(r) Y_{l,m}(\theta, \phi)|^2 dv$$

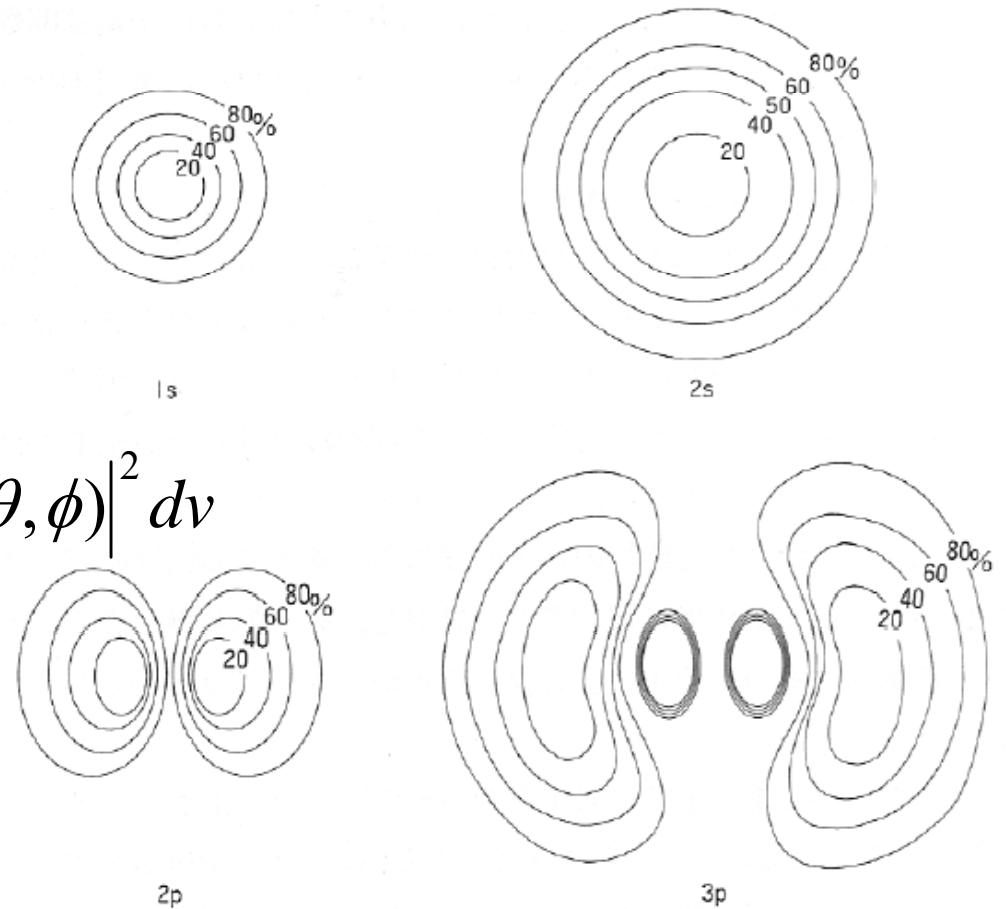


図3-14 s および p 軌道電子の等確率曲線

スピン量子数

主量子数 $n = 1, 2, 3, \dots$

方位量子数 $l = 0, 1, 2, 3, \dots, n-1$

磁気量子数 $m = 0, \pm 1, \pm 2, \pm 3, \dots, \pm l$

磁場中で分裂する準位
+
スピン量子数 $m_s = \pm \frac{1}{2}$

多電子原子の電子状態: n, l, m, m_s の4つの量子数で記述

多電子原子の電子状態

水素原子の場合：電子が一個 → 電子どうしの相互作用はない

多電子原子の場合：電子が複数

電子どうしの相互作用の効果を
→ 近似によりシュレディンガー方程式に取り入れる



中心力場近似： 原子核と他の電子のポテンシャルを、
遮蔽された中心力場と近似する

一電子問題に帰着

$$\Psi(r_1, r_2, r_3, \dots) = \Psi(r_1)\Psi(r_2)\Psi(r_3)\dots$$

中心力場の扱い方

有効原子番号: $Z_{eff} = Z - \sigma$

σ 遮蔽定数

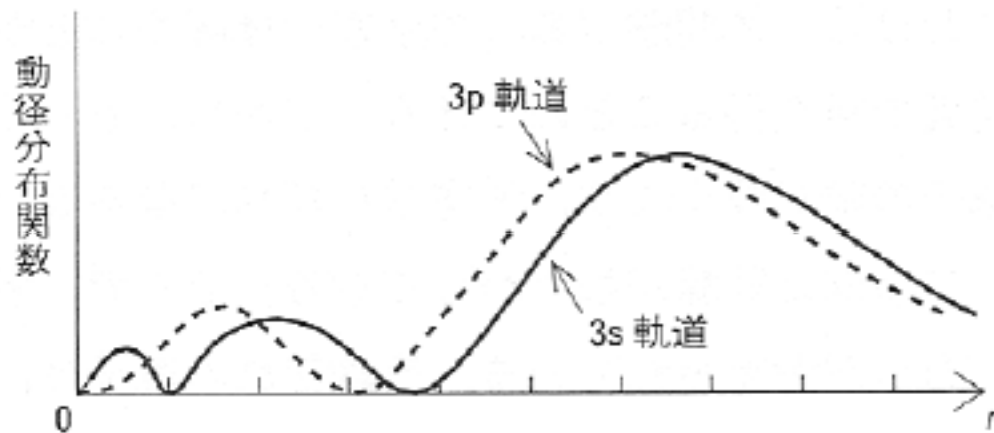


図 3-15 3s 軌道の電子は 3p 軌道の電子よりも原子核の近くの存在確率が高い。

3sのほうが内側に
広がっている



遮蔽の影響が弱い



Z_{eff} が大きい

有效原子番号

表 3-4 有效原子番号

| 原子(Z) | | Z_{eff} | 原子(Z) | | Z_{eff} |
|-----------|----|------------------|-----------|----|------------------|
| H (1) | 1s | 1.00 | Na (11) | 1s | 10.63 |
| He (2) | 1s | 1.69 | | 2s | 6.57 |
| Li (3) | 1s | 2.69 | | 2p | 6.80 |
| | 2s | 1.28 | | 3s | 2.51 |
| C (6) | 1s | 5.67 | Cl (17) | 1s | 16.52 |
| | 2s | 3.22 | | 2s | 11.43 |
| | 2p | 3.14 | | 2p | 12.99 |
| O (8) | 1s | 7.66 | | 3s | 7.07 |
| | 2s | 4.49 | | 3p | 6.12 |
| | 2p | 4.45 | | | |

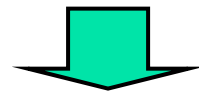
多電子状態を表す4つの量子数

| | |
|--------|--|
| 主量子数 | $n = 1, 2, 3, \dots$ |
| 方位量子数 | $l = 0, 1, 2, 3, \dots, n - 1$ |
| 磁気量子数 | $m = 0, \pm 1, \pm 2, \pm 3, \dots, \pm l$ |
| スピン量子数 | $m_s = \pm \frac{1}{2}$ |

多電子原子の電子状態： n, l, m, m_s の4つの量子数で記述

多電子原子のポテンシャル

中心力場近似: 原子核と他の電子のポテンシャルを、
遮蔽された中心力場と近似する



一電子問題に帰着

$$\Psi(r_1, r_2, r_3, \dots) = \Psi(r_1)\Psi(r_2)\Psi(r_3)\dots$$

有效原子番号

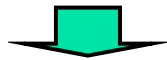
有效原子番号: $Z_{eff} = Z - \sigma$ σ 遮蔽定数

表 3-4 有效原子番号

| 原子 (Z) | | Z_{eff} | 原子 (Z) | | Z_{eff} |
|--------|----|-----------|---------|----|-----------|
| H (1) | 1s | 1.00 | Na (11) | 1s | 10.63 |
| He (2) | 1s | 1.69 | | 2s | 6.57 |
| Li (3) | 1s | 2.69 | | 2p | 6.80 |
| | 2s | 1.28 | | 3s | 2.51 |
| C (6) | 1s | 5.67 | Cl (17) | 1s | 16.52 |
| | 2s | 3.22 | | 2s | 11.43 |
| | 2p | 3.14 | | 2p | 12.99 |
| O (8) | 1s | 7.66 | | 3s | 7.07 |
| | 2s | 4.49 | | 3p | 6.12 |
| | 2p | 4.45 | | | |

原子軌道エネルギー

3d: 遮蔽の影響が強い



原子番号が増えても
あまりエネルギーレベルが
減らない



4sの方が低エネルギーの
場合がある

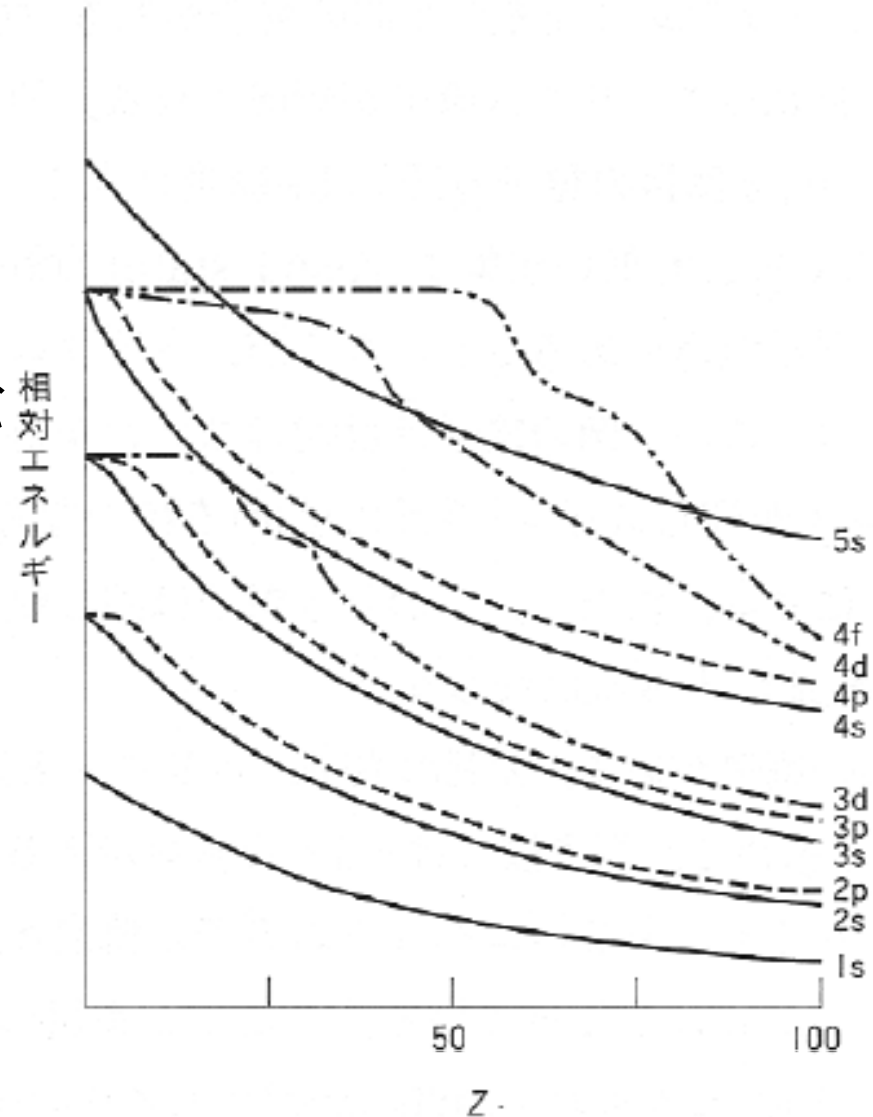


図 3-16 原子軌道のエネルギーの原子番号によるちがひ。

パウリの排他原理

4つの量子数の組で表される状態を、2つ以上の電子が占有できない



W. Pauli

表 3-5 種々の軌道における電子分布

| n | l | m | m_s | 占める電子の数 | |
|-----|-----|-----|-----------|-----------|---|
| 1 | 0 | 0 | $\pm 1/2$ | 2 | |
| 2 | 1 | +1 | $\pm 1/2$ | 2 | |
| | | 0 | $\pm 1/2$ | | |
| | | -1 | $\pm 1/2$ | 6 | |
| 3 | 1 | +1 | $\pm 1/2$ | 2 | |
| | | 0 | $\pm 1/2$ | | |
| | | -1 | $\pm 1/2$ | | |
| | 2 | 2 | +2 | $\pm 1/2$ | 6 |
| | | | +1 | $\pm 1/2$ | |
| | | | 0 | $\pm 1/2$ | |
| | | | -1 | $\pm 1/2$ | |
| | | -2 | $\pm 1/2$ | 10 | |

構成原理

原子番号Zの原子の電子配置が決まっているとき、原子番号Z+1の原子については、新たにつけ加わる1個の電子に、空いている軌道のうち**エネルギーの最も低い軌道の量子数**を割り当てる。

エネルギーの低い順に、

$1s < 2s < 2p < 3s < 3p < 4s < 3d < 4p < 5s < 4d < 5p < 6s$

H: $1s^1$

He: $1s^2$

Be: $1s^2 2s^2$ Li: $1s^2 2s^1$ B: $1s^2 2s^2 2p^1$... Ne: $1s^2 2s^2 2p^6$

構成原理

H: $1s^1$

Be: $1s^2 2s^2$

Li: $1s^2 2s^1$

B: $1s^2 2s^2 2p^1$

...

He: $1s^2$

Ne: $1s^2 2s^2 2p^6$

閉殻構造

化学的に安定